



Co-finanziato

50% Università degli Studi di Cassino e del Lazio Meridionale
e
50% Istituto Nazionale di Geofisica e Vulcanologia (INGV)

**Cartografia prototipale di
faglie attive e capaci
in relazione alla distribuzione di
sorgenti sismogenetiche**

Supervisore:
Prof. Geol. Michele Saroli Dottorando:
Geol. Deborah Maceroni

Co-supervisori:
Geol. Emanuela Falucci (INGV)
Geol. Stefano Gori (INGV)

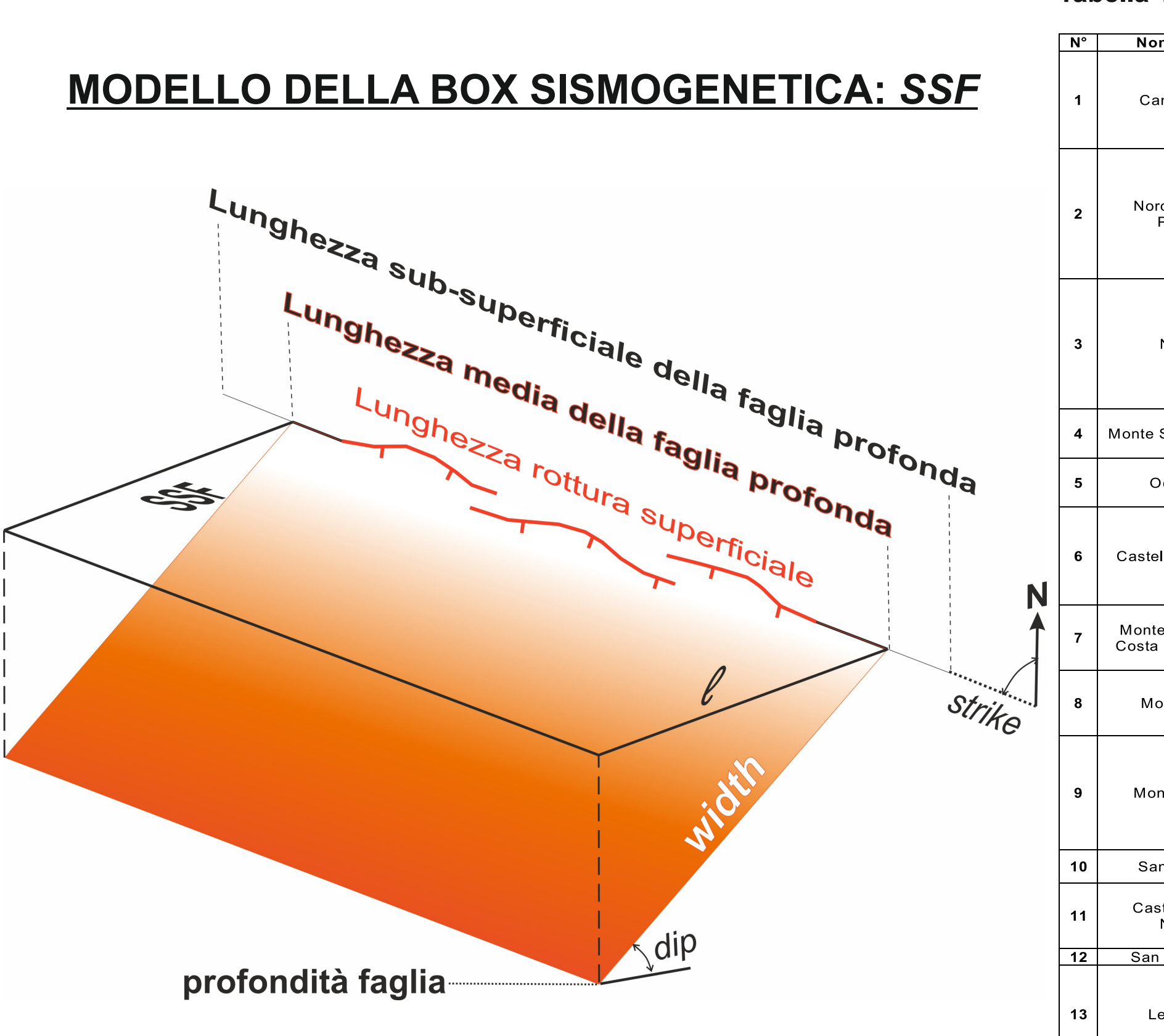
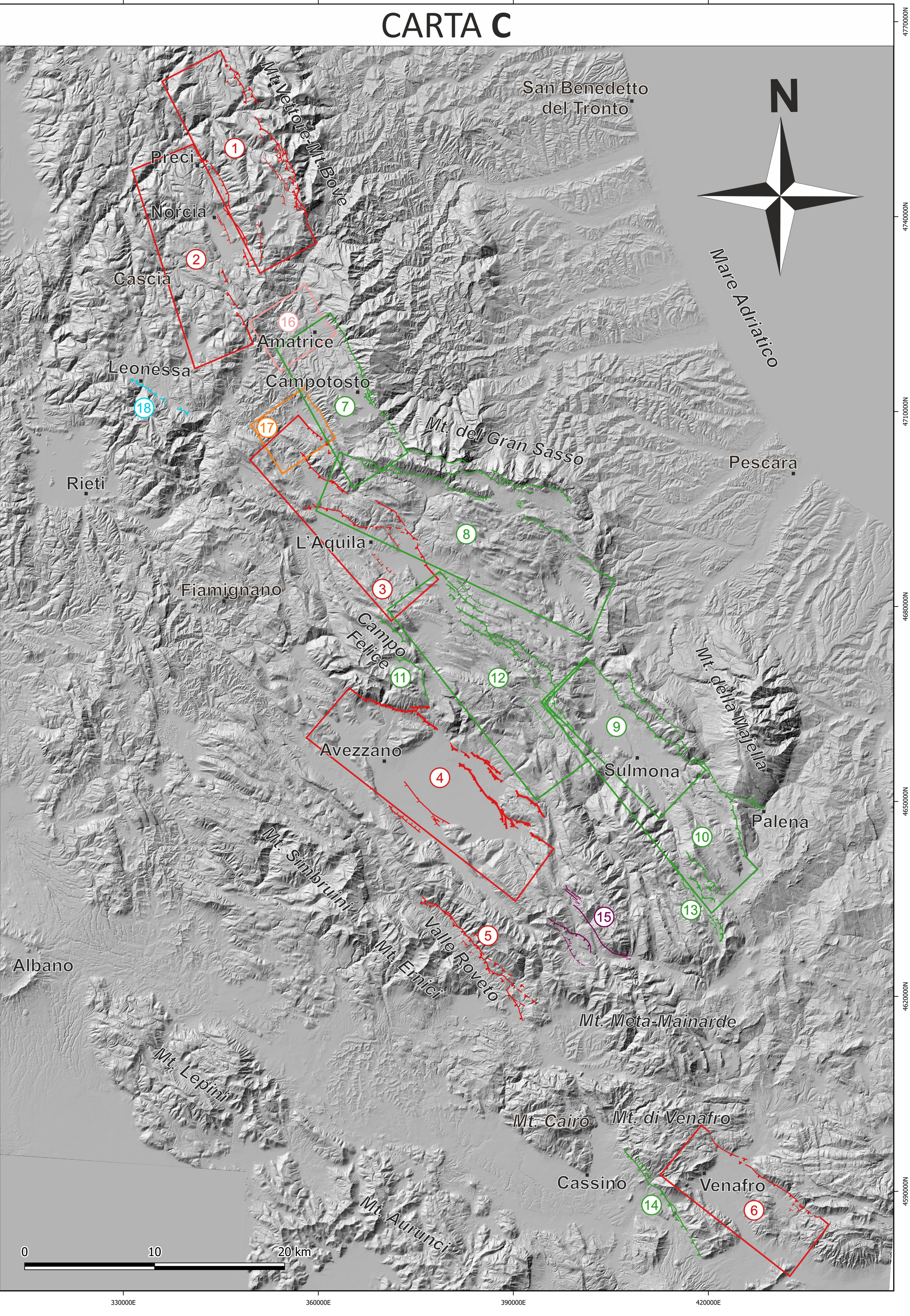
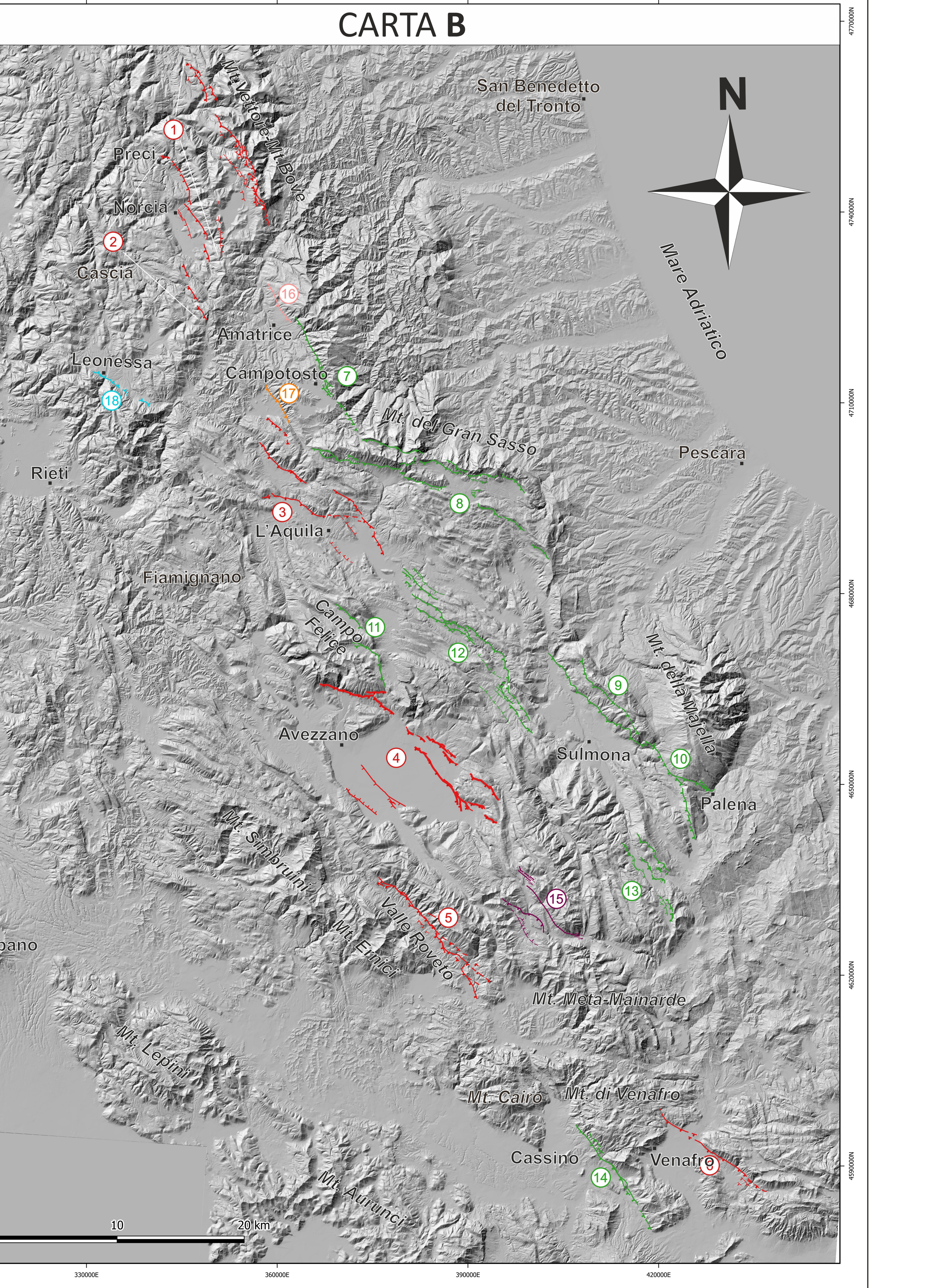
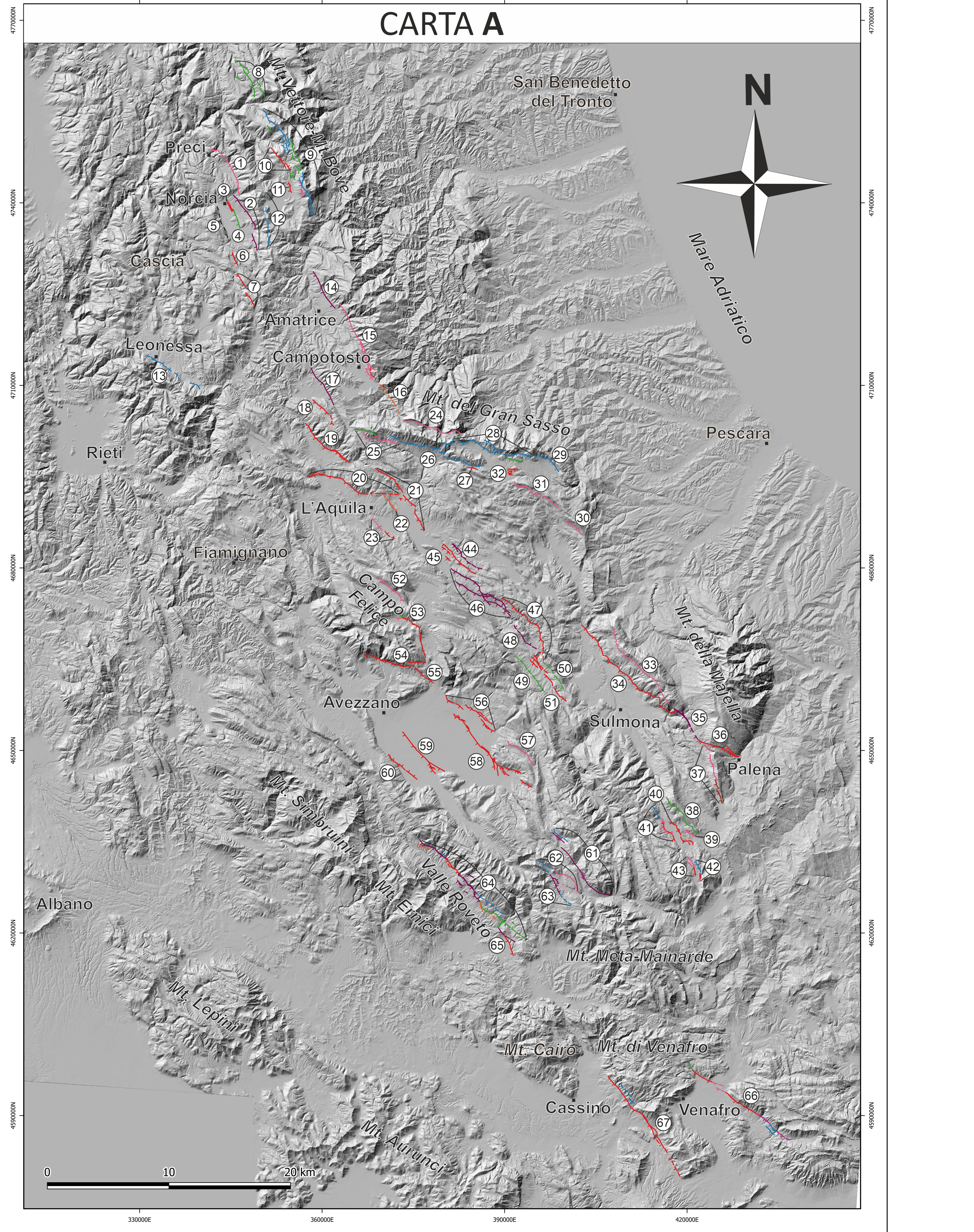


Legenda

- Faglia normale certa
 - Faglia normale presunta
 - Faglia trascorrente
 - - - Faglia di dubbia esistenza
 - Faglia principale certa (Carta B)
 - Faglia sintetica/antitetica certa (Carta B)
 - Faglia principale presunta (Carta B)
 - Faglia sintetica/antitetica presunta (Carta B)
- Carta A - Tabella 1**
- | | Traccia di faglia nel substrato pre-Quaternario | Traccia di faglia in depositi del Quaternario |
|---|---|---|
| ① | Miocene | Oligocene |
| ① | Paleocene | Pleistocene Superiore |
| ① | Cretaceo | |
| ① | Giurassico | Pleistocene Inferiore-Medio |
| ① | Triassico | |
- Carta B - Tabella 2**
- | | Categorie di faglie e sistemi di faglie che rappresentano l'espressione superficiale della stessa sorgente sismogenetica |
|---|--|
| ① | - Distanziazione di depositi e/o forme del Pleistocene Superiore-Oligocene |
| | - Analisi di affioramenti artificiali o naturali per finalità paleosismologiche |
| | - Sismicità storica e/o strumentale associata |

- Categoria 1:**
 - Distanziazione di depositi e/o forme del Pleistocene Superiore-Oligocene
 - Analisi di affioramenti artificiali o naturali per finalità paleosismologiche
 - Sismicità storica e/o strumentale associata
- Categoria 2:**
 - Distanziazione di depositi e/o forme del Pleistocene Superiore-Oligocene
 - Analisi di affioramenti artificiali o naturali per finalità paleosismologiche
 - Sismicità storica e/o strumentale associata
- Categoria 3:**
 - Distanziazione di depositi e/o forme del Pleistocene Superiore-Oligocene
 - Analisi di affioramenti artificiali o naturali per finalità paleosismologiche
 - Sismicità storica e/o strumentale associata
- Categoria 4:**
 - Distanziazione di depositi e/o forme del Pleistocene Inferiore-Medio
 - Analisi di affioramenti artificiali o naturali per finalità paleosismologiche
 - Sismicità storica e/o strumentale associata
- Categoria 5:**
 - Distanziazione di depositi e/o forme del Pleistocene Inferiore-Medio
 - Analisi di affioramenti artificiali o naturali per finalità paleosismologiche
 - Sismicità storica e/o strumentale associata
- Categoria 6:**
 - Assenza di distanziazione di depositi e/o forme del Quaternario
 - Analisi di affioramenti artificiali o naturali per finalità paleosismologiche
 - Sismicità storica e/o strumentale associata

- Carta C - Tabella 3**
- | | Box sismogenetica SSF |
|---|---|
| ① | Sorgenti in grado di generare terremoti di Mw > 6,0 con terremoti storici e/o strumentali associati |
| ② | Sorgenti in grado di generare terremoti di Mw > 6,0 senza terremoti storici e/o strumentali associati |
| ③ | Sorgenti in grado di generare terremoti di Mw < 6,0 con terremoti storici e/o strumentali associati |
| ④ | Sorgenti in grado di generare terremoti di Mw < 6,0 senza terremoti storici e/o strumentali associati |



Tavella 1 - Contenuto informativo delle tracce di faglie oggetto della Carta A

N°	Nome faglia	Tipo di indagine	Bibliografia	Gori et al. (2011)	Gori et al. (1998)
1	CampiPreci	CASO STUDIO	Bianchi & Gori (1992); Galadini et al. (1999); Gori et al. (2011); Gori et al. (2015); Gori et al. (2016); Gori et al. (2018); Gori et al. (2019); Gori et al. (2020); Gori et al. (2021); Gori et al. (2022); Gori et al. (2023); Gori et al. (2024); Gori et al. (2025); Gori et al. (2026); Gori et al. (2027); Gori et al. (2028); Gori et al. (2029); Gori et al. (2030); Gori et al. (2031); Gori et al. (2032); Gori et al. (2033); Gori et al. (2034); Gori et al. (2035); Gori et al. (2036); Gori et al. (2037); Gori et al. (2038); Gori et al. (2039); Gori et al. (2040); Gori et al. (2041); Gori et al. (2042); Gori et al. (2043); Gori et al. (2044); Gori et al. (2045); Gori et al. (2046); Gori et al. (2047); Gori et al. (2048); Gori et al. (2049); Gori et al. (2050); Gori et al. (2051); Gori et al. (2052); Gori et al. (2053); Gori et al. (2054); Gori et al. (2055); Gori et al. (2056); Gori et al. (2057); Gori et al. (2058); Gori et al. (2059); Gori et al. (2060); Gori et al. (2061); Gori et al. (2062); Gori et al. (2063); Gori et al. (2064); Gori et al. (2065); Gori et al. (2066); Gori et al. (2067); Gori et al. (2068); Gori et al. (2069); Gori et al. (2070); Gori et al. (2071); Gori et al. (2072); Gori et al. (2073); Gori et al. (2074); Gori et al. (2075); Gori et al. (2076); Gori et al. (2077); Gori et al. (2078); Gori et al. (2079); Gori et al. (2080); Gori et al. (2081); Gori et al. (2082); Gori et al. (2083); Gori et al. (2084); Gori et al. (2085); Gori et al. (2086); Gori et al. (2087); Gori et al. (2088); Gori et al. (2089); Gori et al. (2090); Gori et al. (2091); Gori et al. (2092); Gori et al. (2093); Gori et al. (2094); Gori et al. (2095); Gori et al. (2096); Gori et al. (2097); Gori et al. (2098); Gori et al. (2099); Gori et al. (2100); Gori et al. (2101); Gori et al. (2102); Gori et al. (2103); Gori et al. (2104); Gori et al. (2105); Gori et al. (2106); Gori et al. (2107); Gori et al. (2108); Gori et al. (2109); Gori et al. (2110); Gori et al. (2111); Gori et al. (2112); Gori et al. (2113); Gori et al. (2114); Gori et al. (2115); Gori et al. (2116); Gori et al. (2117); Gori et al. (2118); Gori et al. (2119); Gori et al. (2120); Gori et al. (2121); Gori et al. (2122); Gori et al. (2123); Gori et al. (2124); Gori et al. (2125); Gori et al. (2126); Gori et al. (2127); Gori et al. (2128); Gori et al. (2129); Gori et al. (2130); Gori et al. (2131); Gori et al. (2132); Gori et al. (2133); Gori et al. (2134); Gori et al. (2135); Gori et al. (2136); Gori et al. (2137); Gori et al. (2138); Gori et al. (2139); Gori et al. (2140); Gori et al. (2141); Gori et al. (2142); Gori et al. (2143); Gori et al. (2144); Gori et al. (2145); Gori et al. (2146); Gori et al. (2147); Gori et al. (2148); Gori et al. (2149); Gori et al. (2150); Gori et al. (2151); Gori et al. (2152); Gori et al. (2153); Gori et al. (2154); Gori et al. (2155); Gori et al. (2156); Gori et al. (2157); Gori et al. (2158); Gori et al. (2159); Gori et al. (2160); Gori et al. (2161); Gori et al. (2162); Gori et al. (2163); Gori et al. (2164); Gori et al. (2165); Gori et al. (2166); Gori et al. (2167); Gori et al. (2168); Gori et al. (2169); Gori et al. (2170); Gori et al. (2171); Gori et al. (2172); Gori et al. (2173); Gori et al. (2174); Gori et al. (2175); Gori et al. (2176); Gori et al. (2177); Gori et al. (2178); Gori et al. (2179); Gori et al. (2180); Gori et al. (2181); Gori et al. (2182); Gori et al. (2183); Gori et al. (2184); Gori et al. (2185); Gori et al. (2186); Gori et al. (2187); Gori et al. (2188); Gori et al. (2189); Gori et al. (2190); Gori et al. (2191); Gori et al. (2192); Gori et al. (2193); Gori et al. (2194); Gori et al. (2195); Gori et al. (2196); Gori et al. (2197); Gori et al. (2198); Gori et al. (2199); Gori et al. (2200); Gori et al. (2201); Gori et al. (2202); Gori et al. (2203); Gori et al. (2204); Gori et al. (2205); Gori et al. (2206); Gori et al. (2207); Gori et al. (2208); Gori et al. (2209); Gori et al. (2210); Gori et al. (2211); Gori et al. (2212); Gori et al. (2213); Gori et al. (2214); Gori et al. (2215); Gori et al. (2216); Gori et al. (2217); Gori et al. (2218); Gori et al. (2219); Gori et al. (2220); Gori et al. (2221); Gori et al. (2222); Gori et al. (2223); Gori et al. (2224); Gori et al. (2225); Gori et al. (2226); Gori et al. (2227); Gori et al. (2228); Gori et al. (2229); Gori et al. (2230); Gori et al. (2231); Gori et al. (2232); Gori et al. (2233); Gori et al. (2234); Gori et al. (2235); Gori et al. (2236); Gori et al. (2237); Gori et al. (2238); Gori et al. (2239); Gori et al. (2240); Gori et al. (2241); Gori et al. (2242); Gori et al. (2243); Gori et al. (2244); Gori et al. (2245); Gori et al. (2246); Gori et al. (2247); Gori et al. (2248); Gori et al. (2249); Gori et al. (2250); Gori et al. (2251); Gori et al. (2252); Gori et al. (2253); Gori et al. (2254); Gori et al. (2255); Gori et al. (2256); Gori et al. (2257); Gori et al. (2258); Gori et al. (2259); Gori et al. (2260); Gori et al. (2261); Gori et al. (2262); Gori et al. (2263); Gori et al. (2264); Gori et al. (2265); Gori et al. (2266); Gori et al. (2267); Gori et al. (2268); Gori et al. (2269); Gori et al. (2270); Gori et al. (2271); Gori et al. (2272); Gori et al. (2273); Gori et al. (2274); Gori et al. (2275); Gori et al. (2276); Gori et al. (2277); Gori et al. (2278); Gori et al. (2279); Gori et al. (2280); Gori et al. (2281); Gori et al. (2282); Gori et al. (2283); Gori et al. (2284); Gori et al. (2285); Gori et al. (2286); Gori et al. (2287); Gori et al. (2288); Gori et al. (2289); Gori et al. (2290); Gori et al. (2291); Gori et al. (2292); Gori et al. (2293); Gori et al. (2294); Gori et al. (2295); Gori et al. (2296); Gori et al. (2297); Gori et al. (2298); Gori et al. (2299); Gori et al. (2300); Gori et al. (2301); Gori et al. (2302); Gori et al. (2303); Gori et al. (2304); Gori et al. (2305); Gori et al. (2306); Gori et al. (2307); Gori et al. (2308); Gori et al. (2309); Gori et al. (2310); Gori et al. (2311); Gori et al. (2312); Gori et al. (2313); Gori et al. (2314); Gori et al. (2315); Gori et al. (2316); Gori et al. (2317); Gori et al. (2318); Gori et al. (2319); Gori et al. (2320); Gori et al. (2321); Gori et al. (2322); Gori et al. (2323); Gori et al. (2324); Gori et al. (2325); Gori et al. (2326); Gori et al. (2327); Gori et al. (2328); Gori et al. (2329); Gori et al. (2330); Gori et al. (2331); Gori et al. (2332); Gori et al. (2333); Gori et al. (2334); Gori et al. (2335); Gori et al. (2336); Gori et al. (2337); Gori et al. (2338); Gori et al. (2339); Gori et al. (2340); Gori et al. (2341); Gori et al. (2342); Gori et al. (2343); Gori et al. (2344); Gori et al. (2345); Gori et al. (2346); Gori et al. (2347); Gori et al. (2348); Gori et al. (2349); Gori et al. (2350); Gori et al. (2351); Gori et al. (2352); Gori et al. (2353); Gori et al. (2354); Gori et al. (2355); Gori et al. (2356); Gori et al. (2357); Gori et al. (2358); Gori et al. (2359); Gori et al. (2360); Gori et al. (2361); Gori et al. (2362); Gori et al. (2363); Gori et al. (2364); Gori et al. (2365); Gori et al. (2366); Gori et al. (2367); Gori et al. (2368); Gori et al. (2369); Gori et al. (2370); Gori et al. (2371); Gori et al. (2372); Gori et al. (2373); Gori et al. (2374); Gori et al. (2375); Gori et al. (2376); Gori et al. (2377); Gori et al. (2378); Gori et al. (2379); Gori et al. (2380); Gori et al. (2381); Gori et al. (2382); Gori et al. (2383); Gori et al. (2384); Gori et al. (2385); Gori et al. (2386); Gori et al. (2387); Gori et al. (2388); Gori et al. (2389); Gori et al. (2390); Gori et al. (2391); Gori et al. (2392); Gori et al. (2393); Gori et al. (2394); Gori et al. (2395); Gori et al. (2396); Gori et al. (2397); Gori et al. (2398); Gori et al. (2399); Gori et al. (2400); Gori et al. (2401); Gori et al. (2402); Gori et al. (2403); Gori et al. (2404); Gori et al. (2405); Gori et al. (2406); Gori et al. (2407); Gori et al. (2408); Gori et al. (2409); Gori et al. (2410); Gori et al. (2411); Gori et al. (2412); Gori et al. (2413); Gori et al. (2414); Gori et al. (2415); Gori et al. (2416); Gori et al. (2417); Gori et al. (2418); Gori et al. (2419); Gori et al. (2420); Gori et al. (2421); Gori et al. (2422); Gori et al. (2423); Gori et al. (2424); Gori et al. (2425); Gori et al. (2426); Gori et al. (2427); Gori et al. (2428); Gori et al. (2429); Gori et al. (2430); Gori et al. (2431); Gori et al. (2432); Gori et al. (2433); Gori et al. (2434); Gori et al. (2435); Gori et al. (2436); Gori et al. (2437); Gori et al. (2438); Gori et al. (2439); Gori et al. (2440); Gori et al. (2441); Gori et al. (2442); Gori et al. (2443); Gori et al. (2444); Gori et al. (2445); Gori et al. (2446); Gori et al. (2447); Gori et al. (2448); Gori et al. (2449); Gori et al. (2450); Gori et al. (2451); Gori et al. (2452); Gori et al. (2453); Gori et al. (2454); Gori et al. (24		